

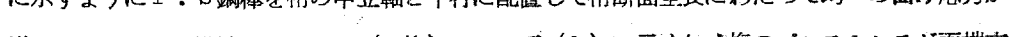
プレストレスト鋼桁の塑性降伏について

三菱重工業KK神戸造船所 伊藤鉄一
同 山口富夫

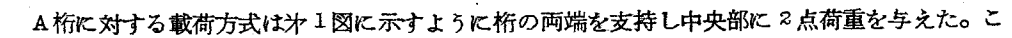
1 緒 言

最近わが国の橋渠構造にはプレストレスを導入した鋼桁が漸次応用せられるようになってきた。P.S鋼桁は部材にあらかじめ外荷重によつて生ずる応力と反対の方向の応力を与えて置くので、部材の安全強度を高め材料の節約をはかることができる。しかもP.S鋼は構造的には不静定部材として作用するから、桁断面が一様に塑性降伏するときのモーメントすなわち、完全塑性モーメントはP.Sを導入しない部材と比べて幾分大きくなり、破壊に対しても有利な構造となる。筆者等は先にプレストレスを導入した単純模型鋼桁について載荷時の応力分布の測定および破壊実験を行ない、その後本供試体の塑性降伏に対して若干の考察を試みたのでその概要について述べる。

2 供試実験桁

供試した実験桁は断面 $250 \times 125 \times 10$ mmのI型鋼で桁長は2400mmである。 (a)に示すようにP.S鋼棒を桁の中立軸と平行に配置して桁断面全長にわたつて均一の曲げ応力が導入されるような構造としたもの(A桁)、および(b)に示す如く桁のプレストレスが両端支持中央集中荷重に適するように分布する構造としたもの(B桁)の2種類の桁を製作した。また比較のために同一断面でP.S力を導入しない桁(C桁)についても実験を行なつた。使用型鋼、鋼棒の機械的性質、断面形状を表示すると (b)表のようで、使用鋼材については実験に先だちその降伏点、抗張力等を試験したが、降伏点は 68.7 kg/cm^2 、抗長力 104 kg/mm であつた。

3 A型P.S鋼桁の強度

A桁に対する載荷方式は (a)に示すように桁の両端を支持し中央部に2点荷重を与えた。この場合桁の支点断面では外モーメントは零であるが鋼棒に生ずる不静定力によつて支点断面の応力は最初与えたP.S力による応力分布と同一方向に増加する。したがつて桁の中央、両支点断面および鋼棒が外部荷重に対して、同時に降伏するためには、鋼棒断面積、P.S力、の大きさ等を適当に選ぶ必要がある。これらの条件を解析的に求め、P.S鋼桁の強度について検討を行つて見よう。

符 号

ℓ	支点より荷重点までの距離	W	荷 重
ℓ_1	$\ell_2 - z \ell_1$	M	モーメント
$z\ell_3$	桁の全長	P	P. S 力
$2\ell_p$	P. S 材の全長	ΔP	外力により P. S 棒に生ずる不静定力
F	桁の断面積	σ_{u0}	上フランジプレストレス
J	桁の慣性モーメント	σ_{d0}	下フランジプレストレス
Z	桁の断面係数	σ_y	鋼桁の降伏応力
e	桁の中立軸より P. S 導入点までの距離	σ_{ky}	P. S 鋼棒の降伏応力
F_k	P. S 材の断面積	σ_{u1}, σ_{d1}	桁の上、下フランジ応力の最大値
E	鋼桁の弾性率	σ_{u2}, σ_{d2}	桁支店部に於ける上下フランジ応力
E_k	P. S 鋼棒の弾性率	K	P. S 力の不静定係数 ($\Delta P = KW$)
A_1	$= -\frac{1}{F} + \frac{e}{Z}$		
A_2	$= \frac{1}{F} + \frac{e}{Z}$		

プレストレスおよび荷重による桁の最大応力、支点応力は次式のように表わされる。(オズ図)
荷重点では

$$\begin{aligned} \sigma_{u1} &= -\frac{W\ell_1}{F} + (P + \Delta P) \frac{A_1}{Az} = +P \frac{A_1}{Az} + \left(\frac{-\ell_1}{zz} + K \frac{A_1}{A_2} \right) W \\ \sigma_{d1} &= +\frac{W\ell_1}{2Z} - (P + \Delta P) \frac{A_1}{Az} = -P \frac{A_1}{Az} + \left(\frac{+\ell_1}{zz} - K \frac{A_1}{A_2} \right) W \end{aligned} \quad (1)$$

支点では

$$\begin{aligned} \sigma_{u2} &= + (P + \Delta P) \frac{A_1}{A_2} = + \left(P \frac{A_1}{A_2} + KW \frac{A_1}{A_2} \right) \\ \sigma_{d2} &= - (P + \Delta P) \frac{A_1}{A_2} = - \left(P \frac{A_1}{A_2} + KW \frac{A_1}{A_2} \right) \end{aligned} \quad (2)$$

たゞし

$$\left. \begin{aligned} A_1 &= -\frac{1}{F} + \frac{\ell}{z} \\ A_2 &= \frac{1}{F} + \frac{\ell}{z} \end{aligned} \right\} \quad (3)$$

$$K = \frac{e\ell_1(\ell_1 + \ell_2)}{4e^2(\ell_1 + \frac{\ell_2}{2}) + J \left(\frac{\ell_2}{F} + \frac{E}{E_k} \frac{\ell_1}{F_k} \right)} \quad (4)$$

I 型 鋼		
材 質	S S 4 1	
断面形状状況	主要寸法 mm	A × B 250 × 125
	t_1	10
	t_2	9
	慣性モーメント cm^4	J_x 7338
		J_y 560.1
	回転半径 cm	i_x 10.91
		i_y 2.81
	断面係数 cm^2	Z_x 587.0
		Z_y 89.62
	断面積 mm^2	7073
機械的性質	重量 Kg/m	55.5
	抗張力 Kg/cm^2	4140
	降伏点 Kg/cm^2	2670
伸	%	

鋼 棒	
呼 称	SECH 24 ϕ
直 径	mm 23.2
引張強度	Kg/mm^2 100 以上
降伏点強度	Kg/mm^2 67 以上
破断時伸び	% 8 以上
紋 り	% 35 以上
リラクゼーション	% 21 以下

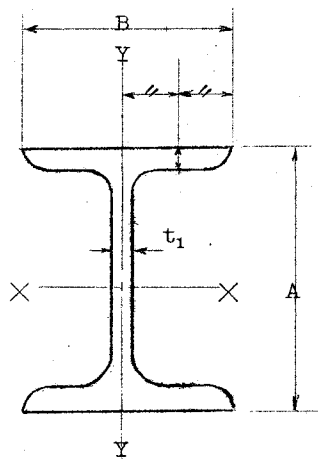
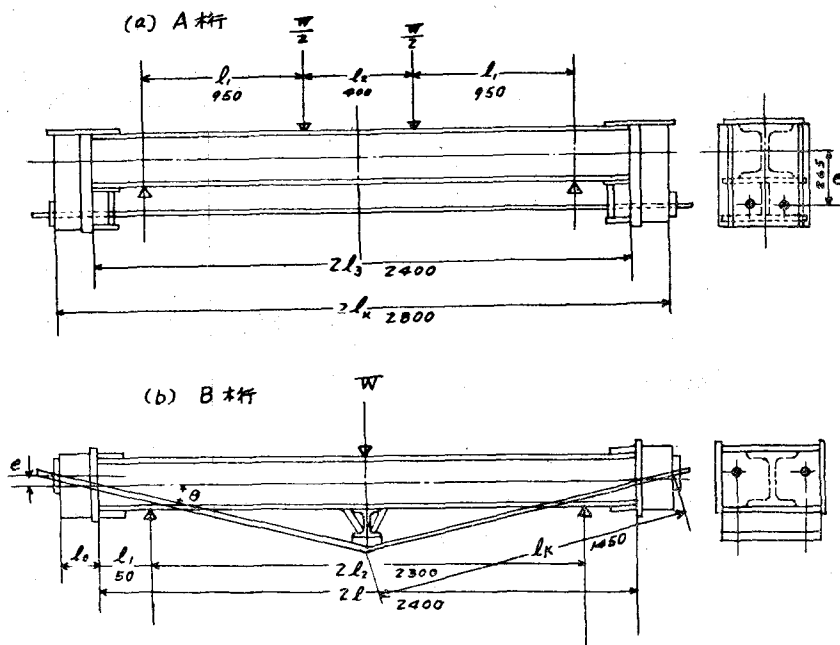
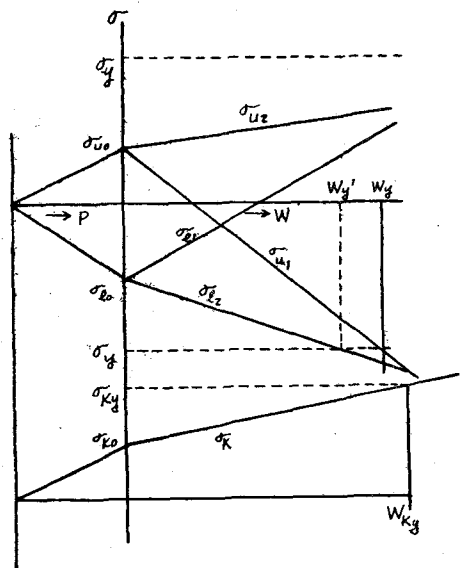


表 1 桁材および鋼棒の断面形状、機械的性質



第 1 図 供 試 実 験 桁



第 2 図

$\sigma_{u1} > \sigma_{\ell1}$, $\sigma_{\ell2} > \sigma_{u2}$ であるから σ_{u1} , $\sigma_{\ell2}$ が降伏応力 σ_y に達する荷重 W_{y1} , W_y を(1), (2)式より求めるときそれぞれ

$$W_{y1} = \frac{PA_1 + \sigma_y}{\frac{\ell_1}{2Z} - KA_1} \quad \dots \dots \dots \quad (5)$$

$$W_y = \frac{\sigma_y - PA_2}{KA_2} \quad \dots \dots \dots \quad (6)$$

$W_y = W_{y1}$ になるためには

$$\frac{PA_1 + \sigma_y}{\frac{\ell_1}{2Z} - KA_1} = \frac{\sigma_y - PA_2}{KA_2} \quad \dots \dots \dots \quad (7)$$

の関係が成立する必要がある。これより P, S力を求めると

$$P = \sigma_y \left\{ \frac{1}{A_2} - \frac{2ZK}{\ell_1} \left(1 + \frac{A_1}{A_2} \right) \right\} \quad \dots \dots \dots \quad (8)$$

したがつてこのときの降伏荷重は(8)を(5), (6)に入れて

$$W_y = W_{y1} = \frac{2Z}{\ell_1} \left(1 + \frac{A_1}{A_2} \right) \sigma_y \quad \dots \dots \dots \quad (9)$$

また

$$P + \Delta P = \sigma_{ky} F_k \quad \dots \dots \dots \quad (10)$$

なるためには(10)式に(8), (9)を入れて

$$\sigma_y \left\{ \frac{1}{A_2} - \frac{2ZK}{\ell_1} \left(1 + \frac{A_1}{A_2} \right) \right\} - K \frac{2Z}{\ell_1} \left(1 + \frac{A_1}{A_2} \right) \sigma_y = F_k$$

$$F_k = \frac{\sigma_y}{\sigma_{ky}} \frac{1}{A_2} \quad \dots \dots \dots \quad (11)$$

すなわち P, S鋼棒の断面積を(11)の条件で定め、P, S力を(8)の条件で導入すれば鋼桁各部の強度を同一にし最も合理的な設計をすることができる。さてこのようにして設計された鋼桁の強度は P, Sを導入しない桁の強度に対して降伏比は

$$\frac{W}{W_{yo}} = \left(1 + \frac{A_1}{A_2}\right) \sigma_y = \frac{2}{1 + \frac{Z}{eF}} \sigma_y \quad \dots \dots \dots \quad (12)$$

となる。本実験桁に対して数値計算を行えば次のようになる。

$$\begin{aligned}
 l_1 &= 95 \text{ cm} & F &= 70.73 \text{ cm}^2 & \sigma_{ky} &= 6000 \text{ Kg/cm}^2 \\
 l_2 &= 40 \text{ cm} & J &= 7338 \text{ cm}^4 & F_k &= 7.5 \text{ cm} \\
 l_3 &= 120 \text{ cm} & A_1 &= 3.101 \times 10^{-2} \text{ cm}^2 & E &= 2.1 \times 10^8 \text{ Kg/cm}^2 \\
 l_k &= 140 \text{ cm} & A_2 &= 5.928 \times 10^{-2} \text{ cm}^2 & E_k &= 2.0 \times 10^8 \text{ Kg/cm}^2 \\
 e &= 26.5 \text{ cm} & \sigma_y &= 2670 \text{ Kg/cm}^2 & K &= 0.358 \\
 W &= 50.3 \times 10^3 \text{ Kg} \\
 P &= 27.05 \times 10^3 \text{ Kg} \\
 AP &= 18 \times 10^3 \text{ Kg} \\
 \frac{W}{W_{yo}} &= 1.523
 \end{aligned}$$

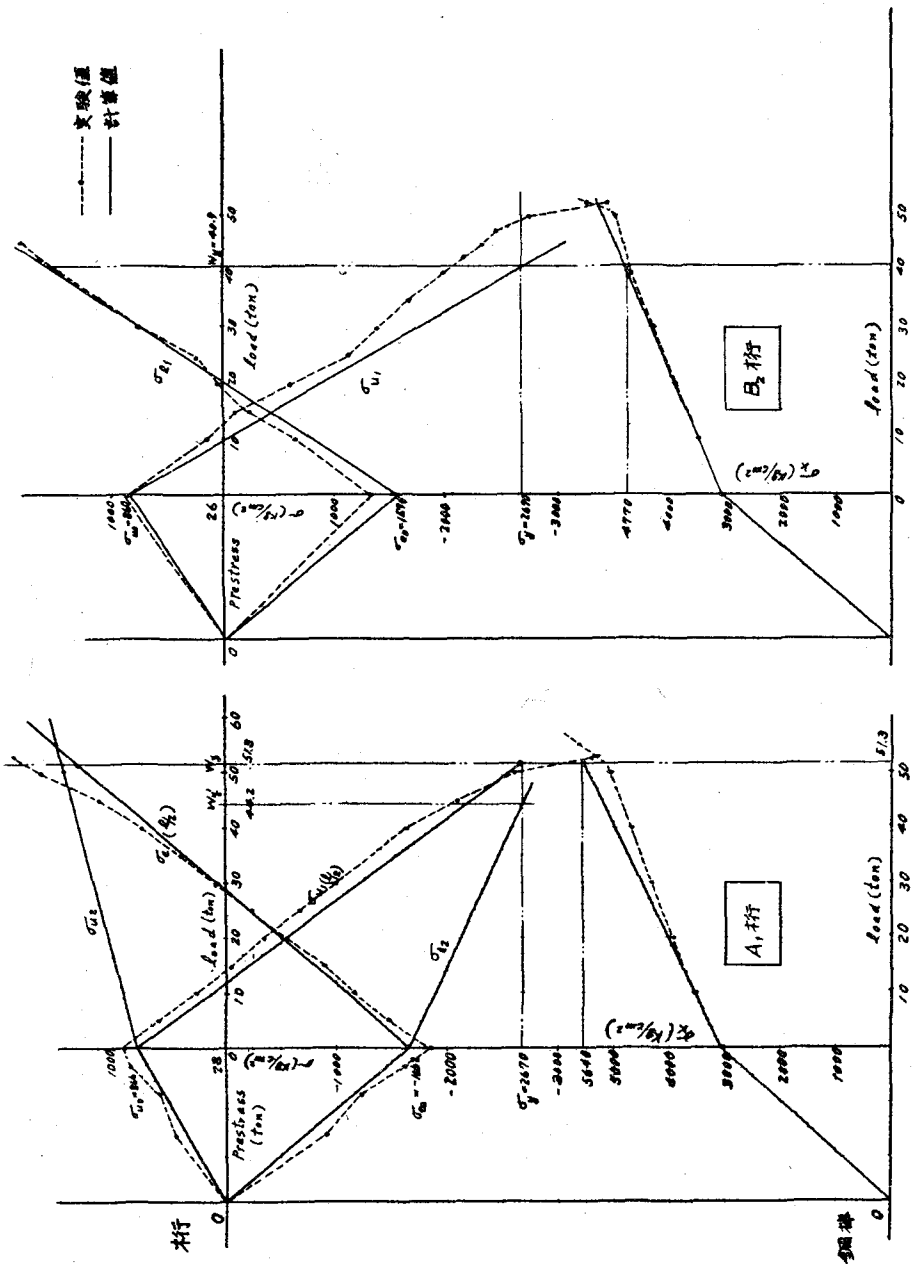
4. 実験結果

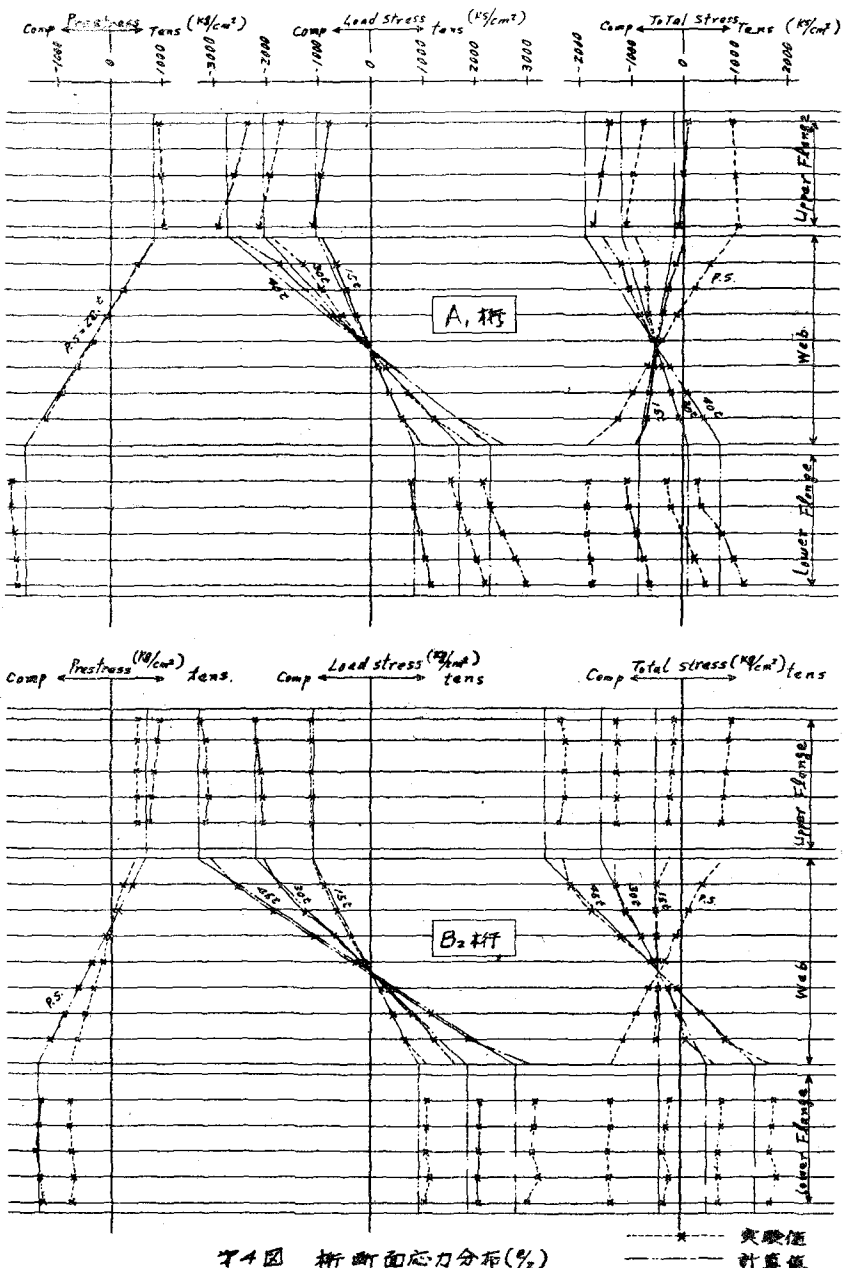
A・B・桁に対する載荷実験をオ3図に示した。この場合P・S力の大きさが前章(8)式の関係を満足しないため桁の支点部が荷重より先に降伏を起した。桁中央断面における応力分布を描くとオ4図のようだ。これ等の実験結果はいずれも計算結果とはほぼ一致している。また鋼棒応力よりP・S鋼棒の不静定係数を求めるとき、オ2表のとおりで、この値も大体計算と一致していると見ることができる。また桁フランジの最縁応力が材料の降伏点に達する降伏荷重は、A桁で約50ton、B桁で約41ton程度（中央1点集中荷重）で、C桁の降伏荷重31ton（2点集中荷重）に対してA・B桁とも、約1.5倍の強度増加を生じていることがわかる。なお本実験桁に導入したP・S力に対する降伏荷重の計算値はオ3表のとおりである。

オ2表 K の 値

桁	実験値	計算値
A ₁	0.36	0.385
A ₂	0.372	〃
B ₁	0.356	0.345
B ₂	0.356	〃

第3圖 載荷実験に於ける荷重と応力値





第4図 柄断面応力分布(%)

第4図 柄断面応力分布 ($l/2$)

表 3 表 滅伏荷重計算値

桁	P kg	W_r kg	W_r / W_{r_0}
A_1	27.96×10^3	51.3×10^3	1.56
A_2	29.61	52.1	1.58
B_1	28.16	41.8	1.54
B_2	25.91	40.9	1.50

5. P.S 鋼桁の完全塑性降伏

P.S 桁が外部荷重による軸力と曲げモーメントをうけて断面が完全塑性降伏域に達したとき、その応力分布は图6のようになる。この時の荷重を W_r 、軸力および曲げモーメントを T_r 、 M_r とすれば、 T_r 、 M_r はそれぞれつきのようにして求めることができます。

$$T_r = (P_0 + KW_r) = -\sigma_{yb2} \cdot Z C \quad (1)$$

$$\begin{aligned} M_r &= \int_0^{h_2-C} \sigma_{yb2} y d y + \int_0^{h_1-C} \sigma_{yb2} y d y + \int_{h_2-C}^{h_1-C} \sigma_{yb1} y d y + \int_{h_2-C}^{h_1-C} \sigma_{yb1} y d y - T_r C + b_{b0} Z \\ &= \sigma_r \{ b_2 (h^2 - C^2) + b_1 (h_1^2 - h_2^2) \} \end{aligned} \quad (2)$$

(1), (2)より C を消去すると

$$M_r = \sigma_r [b_2 \{ h_2^2 - (\frac{T_r e}{2 b_2 \sigma_r})^2 \} + b_1 (h_1^2 - h_2^2)] + \sigma_{b0} Z \quad (3)$$

ここで P_0 は最初にあたえられる P.S 力で

$$\left. \begin{aligned} T_r &= -P_0 = -\sigma_{t0} F \\ M_r &= e P_0 = \sigma_{b0} Z \end{aligned} \right\} \quad (4)$$

ところで完全塑性降伏モーメント M_r を弾性的に考えれば $M_r = Z \sigma_r$ で表わされ、之は外力 W_r に対しては A 桁の荷重条件では次のように表わされる。

$$M_r = \sigma_r Z = (\frac{\ell_1}{2} - K \sigma_r) W_r \quad (5)$$

$$\text{ゆえに } W_e = \frac{\sigma_e Z}{\frac{\ell_1}{z} - K_e} \quad (6)$$

(6)を(1)に入れて

$$\begin{aligned} T_e &= \left\{ \sigma_{eo} + \frac{\sigma_e Z K}{F \left(\frac{\ell_1}{z} - K_e \right)} \right\} F_e \\ &= \left\{ \frac{Z}{F_e} \sigma_{eo} + \frac{Z K \sigma_e}{F \left(\frac{\ell_1}{z} - K_e \right)} \right\} \end{aligned} \quad (7)$$

(3), (5), (10)より

$$\sigma_e = \frac{1}{Z} \sigma_y \left[\sigma_z \left\{ h_2^2 - \left(\frac{Z}{F_e} \sigma_{eo} + \frac{Z K \sigma_e}{F \left(\frac{\ell_1}{z} - K_e \right)} \right)^2 \left(\frac{F}{z h_2 \sigma_y} \right)^2 \right\} + b_1 (h_1^2 - h_2^2) \right] + \sigma_{eo}$$

$$\sigma_y = \frac{1}{z} \left[b_1 (h_1^2 - h_2^2) + b_2 h_2^2 - \left(\frac{z}{F_e} \frac{\sigma_{eo}}{\sigma_y} + \frac{Z K}{F \left(\frac{\ell_1}{z} - K_e \right)} \frac{\sigma_e}{\sigma_y} \right)^2 \frac{F^2}{4 b_2} \right] + \frac{\sigma_{eo}}{\sigma_y} \quad (8)$$

ここで

$$\left. \begin{aligned} \chi &= \frac{\sigma_{eo}}{\sigma_y} \\ y &= \frac{\sigma_e}{\sigma_y} \\ B &= \frac{1}{Z} [b_1 (h_1^2 - h_2^2) + b_2 h_2^2] \\ C &= \frac{Z}{F_e} \\ D &= \frac{Z K}{F \left(\frac{\ell_1}{z} - K_e \right)} \\ E &= \frac{F^2}{4 b_2 z} \end{aligned} \right\} \quad (9)$$

とおけば

$$y = B - (C \chi + D y)^2 E + \chi \quad (10)$$

これを χ について解けば

$$y = \frac{1}{D^2 E} \left(\sqrt{DE \left\{ \frac{1}{4DE} + BD + (C+D)\chi \right\}} - \left(\frac{1}{2} + CDE\chi \right) \right) \quad \dots \dots \dots \quad (11)$$

但式は $\chi = \frac{\sigma_{bo}}{\sigma_y}$ に対する $y = \frac{\sigma_e}{\sigma_y}$ の関係を示すもので、これより P . S の大きさに対する鋼桁の見掛け上の降伏応力が求められる。さて(10)式お記号を用いると、桁が完全塑性降伏した時のフランジ応力、フランジ最外縁の降伏荷重および完全塑性降伏荷重は次式で与えられる。(オ 6 図)

$$\frac{\sigma_{te}}{\sigma_y} = \frac{T_e}{F\sigma_y} = \frac{Z}{F_e} \frac{\sigma_{bo}}{\sigma_y} + \frac{ZK}{F(\ell_1 - K_z)} \frac{\sigma_e}{\sigma_y} = C\chi + Dy \quad \dots \dots \dots \quad (12)$$

$$\frac{\sigma_{te} \pm \sigma_e}{\sigma_y} = C\chi + (D \pm 1)y \quad \dots \dots \dots \quad (13)$$

$$W_e = \frac{FD}{K} \sigma_e \quad \dots \dots \dots \quad (14)$$

$$W_y = \frac{\sigma_y + (1 - \frac{Z}{eF}) \sigma_{bo}}{\frac{\ell_1}{zZ} - K(\frac{e}{Z} - \frac{1}{F})} = \frac{1 + (1-C)\chi}{\frac{K}{F}(1 + \frac{1}{D})} \sigma_y \quad \dots \dots \dots \quad (15)$$

$$W_{cy} = \frac{zZ}{\ell_1} \sigma_y \quad \dots \dots \dots \quad (16)$$

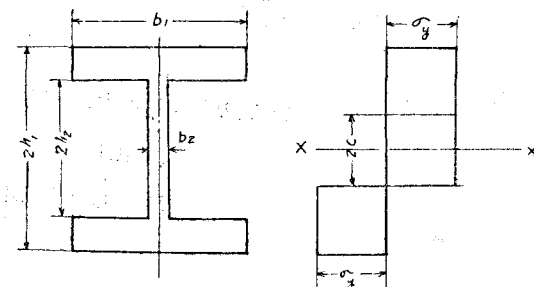
$$\frac{W_e}{W_y} = \frac{FD}{K} \frac{\frac{K}{F}(1 + \frac{1}{D})}{1 + (1-C)\chi} \frac{\sigma_e}{\sigma_y} = \frac{1 + D}{1 + (1-C)\chi} y \quad \dots \dots \dots \quad (17)$$

$$\frac{W_y}{W_{oy}} = \frac{\frac{1 + (1-C)\chi}{1 - \frac{zZKA_1}{\ell_1}}}{\frac{zZ}{\ell_1} \frac{K}{F}(1 + \frac{1}{D})} = \frac{1 + (1-C)\chi}{1 - \frac{zZKA_1}{\ell_1}} \quad \dots \dots \dots \quad (18)$$

$$\frac{W_e}{W_{uy}} = \frac{(1+D)y}{1 - \frac{zZKA}{\ell_1}} \quad \dots \dots \dots \quad (19)$$

また塑性降伏時の中立軸の位置は $2Cb_2\sigma_y = P_o + KW$ より

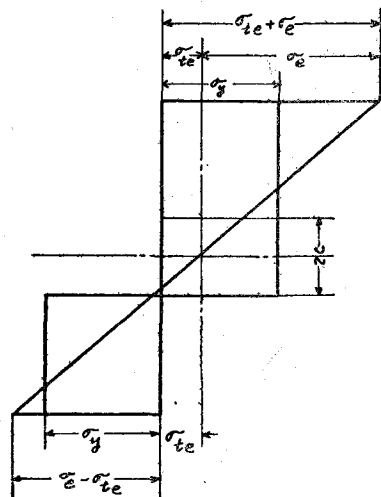
$$\frac{C}{h_2} = \frac{1}{2b_c h_2 \sigma_y} \left(\frac{Z}{e} \sigma_{bo} + \frac{KZ_e}{\frac{\ell_1}{2} - K_z} \right) = \frac{A_1}{2b_2 h_2} (C\chi + Dy) \quad \dots \dots \dots \quad (20)$$



オ 5 図

なおB桁の場合には

$$\left. \begin{aligned} B &= \frac{1}{Z} (b_1 (h_1^2 - h_2^2) + b_2 h_2^2) \\ C &= \frac{Z}{F\ell} \cot \theta \\ D &= \frac{ZK \cos \theta}{F \left\{ \frac{\ell^2}{Z} - K\ell \sin \theta \right\}} \\ D &= \frac{F^2}{4b_2 Z} \end{aligned} \right\}$$



オ 6 図

(21)

オ 4 表 実験桁の塑性降伏強度計算値

桁	P_o ton	$\sigma_{b o}$ Kg/cm^2	$\chi = \frac{\sigma_{b o}}{\sigma_s}$	W_y ton	$\frac{W_o}{W_y}$	W_o ton	
						計算値	実験値
A ₁	27.96	1264	0.473	51.3	1.232	63.3	55×10^3
A ₂	29.61	1338	0.501	52.1	1.227	64.0	6
B ₁	28.16	1320	0.494	41.8	1.190	49.8	-
B ₂	25.91	1217	0.456	40.9	1.187	48.6	52×10^3
C	-	-		33.0 (*) 27.2 (**)	1.128	37.2 30.7	- 34.7

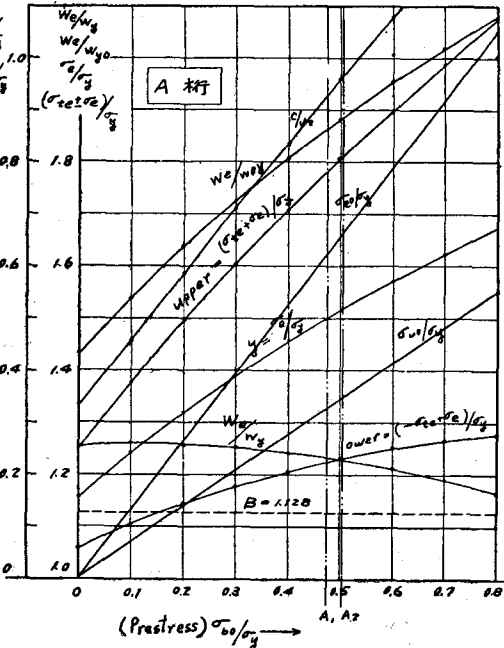
(*) 2点集中荷重

(**) 1点集中荷重

とおけば (H) ~ (I) の関係はそのまま成立する。A, B 桁について χ に対するこれ等の値を数値計算すると χ 図のようになる。 W_p/W_s の値は P, S を導入しない桁の場合は 1.13 程度であるのに対して、A 桁構造では約 1.25, B 桁構造では約 1.19 となり完全塑性降伏強度は約 10% の増加を来たしたことが知られる。

A, B 各桁の実験桁に対して塑性降伏荷重およびフランジ応力を求めた結果を χ 表に示した。下表に見られるように、本実験桁の上フランジ応力は見掛け上材料の降伏点の 1.7 ~ 1.8 倍になる。断面が完全に塑性降伏するまでは平面変形をするものとみなして、塑性降伏時の断面応力分布の計算を行ない、それを実験値と比較すると χ 図のようになり、両者はほぼ一致した傾向をもつていて。塑性降伏荷重が計算値と幾分異なるのは、桁端部が載荷点より先に降伏した影響と思われる。模型の不備によるものであろうと考えられる。A¹ 桁の破壊状況を χ 図の写真に示した。

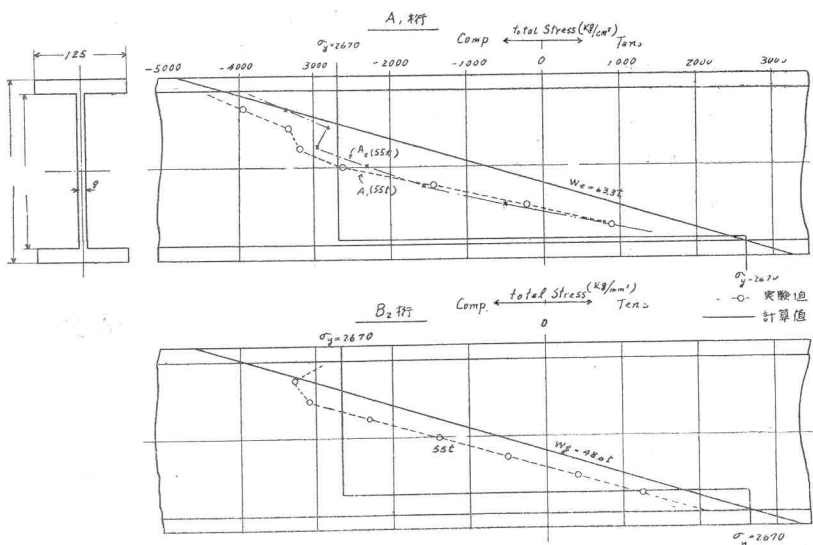
Upper Flange		Lower Flange	
$(-\sigma_{te} - \sigma_e)$	σ_y	$(-\sigma_{te} + \sigma_e)$	σ_y
	Kg/cm ²		Kg/cm ²
1.78	4750	1.23	3280
1.80	4810	1.235	3300
1.74	4650	1.27	3390
1.70	4540	1.26	3360



χ 図 P, S と塑性降伏強度の関係

6. 結 言

プレストレス模型鋼桁の載荷実験を行ない、その弾性強度および塑性降伏強度に対して解析的考察を行なつた結果について述べた。P, S 鋼桁はプレストレスの導入により、桁の弾性的強度を著しく増大するが、また同時に塑性降伏強度を増加する利点を有する。本供試桁の例の場合でも W_p/W_s (W_s = 塑性降伏荷重, W_p =



オ8図 塑性降伏時の断面応力（歪）分布

＝弾性降伏荷重）の値

は約1.19～1.23

となり、プレストレス

る導入した桁に対する

W_t ／ W_s の値1.13

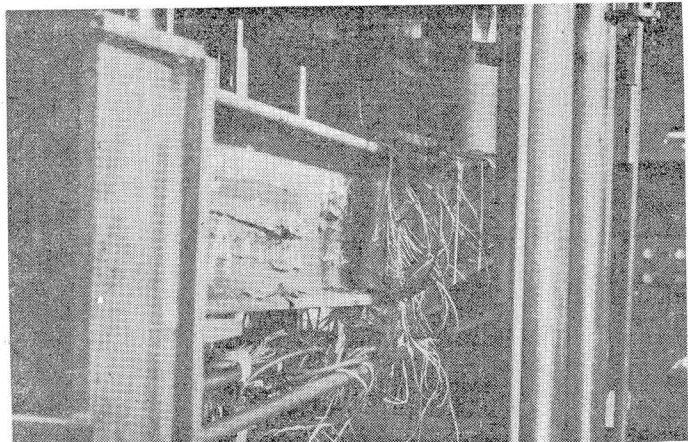
に対して約5～9%大

きくなつており、それ

だけ破壊強度が増加し

ていることがうかがわ

れる。



本文の解析は主として模型例について行な

オ9図 P.S実験桁の破壊状況

つたが、このような考察を実際の設計面にも適用すれば、P.S工法の特長を生かし、最も合理的な設計をすることができよう。P.S鋼構造があらゆる分野に広く応用されつつある現状において、本研究が幾分でも役に立てば幸甚と考える次第である。